

HỘI CƠ HỌC VIỆT NAM
HỘI CƠ HỌC VẬT RẮN

ĐẠI HỌC THÁI NGUYÊN
TRƯỜNG ĐẠI HỌC KỸ THUẬT CÔNG NGHIỆP

TUYỂN TẬP CÔNG TRÌNH

Hội nghị Khoa học toàn quốc

Cơ học Vật rắn lần thứ XV

TP. Thái Nguyên, ngày 24 - 25 tháng 9 năm 2021

NHÀ XUẤT BẢN ĐẠI HỌC THÁI NGUYÊN

NĂM 2021

Tuyển tập công trình Hội nghị khoa học toàn quốc Cơ học Vật rắn lần thứ XV

TP Thái Nguyên, 24-25/9/2021

© 2021 Nhà xuất bản Đại học Thái Nguyên.

Không phần nào trong xuất bản phẩm này được phép sao chép hay phát hành dưới bất kỳ hình thức hoặc phương tiện nào mà không có sự cho phép trước bằng văn bản của cơ quan chủ quản.

Nhà xuất bản Đại học Thái Nguyên

Địa chỉ : Phường Tân Thịnh – Thành phố Thái Nguyên – Tỉnh Thái Nguyên

Điện thoại liên hệ: (0280) 3.840023 - (0280) 3.601004

Email: nxb.dhtn@gmail.com

Website: <http://nxb.tnu.edu.vn>

Ban Biên tập

Đồng trưởng ban: Đào Huy Bích, Trần Ích Thịnh

Nguyễn Đông Anh, Nguyễn Đăng Bích, Phạm Đức Chính, Nguyễn Thái Chung, Nguyễn Tiến Chương, Nguyễn Mạnh Cường, Nguyễn Văn Đạt, Phạm Tiến Đạt, Nguyễn Đình Đức, Nguyễn Trung Hiếu, Lê Khả Hòa, Đặng Xuân Hùng, Nguyễn Xuân Huy, Nguyễn Tiến Khiêm, Ngô Như Khoa, Nguyễn Đình Kiên, Nguyễn Trung Kiên, Nguyễn Việt Khoa, Bùi Hải Lê, Trần Văn Liên, Đào Như Mai, Dương Phạm Tường Minh, Nguyễn Trang Minh, Vũ Hoài Nam, Nguyễn Thị Thanh Nga, Vũ Ngọc Pi, Trần Hữu Quốc, Lê Minh Quý, Nguyễn Hồng Thái, Trương Tích Thiện, Đỗ Văn Trường, Trần Thanh Tuấn, Trần Minh Tú, Hoàng Văn Tùng, Trần Bảo Việt, Phạm Chí Vĩnh

MÃ SỐ: $\frac{02 - 153}{\text{ĐHTN} - 2021}$

LỜI KHAI MẠC

Kính thưa: Các Quý vị đại biểu, Thưa các đồng nghiệp,

Kính thưa toàn thể Hội nghị,

Hôm nay, chúng tôi rất vinh dự được chào đón các Quý vị đại biểu, các Nhà khoa học, các đồng nghiệp từ các trường Đại học, Cao đẳng, các Viện nghiên cứu, các Bộ, Ngành, Trung tâm, các Công ty trong cả nước về tham dự Hội nghị Cơ học Vật rắn lần thứ XV dưới hình thức trực tuyến (nếu không vì dịch bệnh Covid-19, Hội nghị đã được tổ chức trực tiếp tại trường Đại học Kỹ thuật Công nghiệp, Đại học Thái Nguyên vào đầu tháng 8 vừa qua).

Đây là Hội nghị khoa học thường kỳ của Hội Cơ học Vật rắn, được tổ chức hai năm một lần nhằm tạo điều kiện cho các cán bộ giảng dạy và nghiên cứu khoa học, cán bộ quản lý và sản xuất trong cả nước báo cáo và trao đổi các kết quả nghiên cứu khoa học mới, đồng thời định ra những hướng nghiên cứu, ứng dụng thiết thực trong thời gian tới.

Thay mặt BCH Hội Cơ học Vật rắn, tôi xin trân trọng tuyên bố khai mạc Hội nghị khoa học toàn quốc Cơ học Vật rắn lần thứ XV.

Kính thưa Hội nghị,

Đến dự Hội nghị hôm nay, chúng ta vui mừng được đón tiếp gần **200** cán bộ cơ học chuyên ngành Cơ học Vật rắn trong cả nước với **116** công trình khoa học sẽ được báo cáo. Các công trình khoa học tại Hội nghị thuộc cả hai lĩnh vực nghiên cứu cơ bản và nghiên cứu ứng dụng của Cơ học Vật rắn trong kỹ thuật đều có tính thời sự, đi vào các lĩnh vực mới của chuyên ngành Cơ học Vật rắn mà giới khoa học quốc tế và trong nước đang quan tâm.

Các báo cáo khoa học đã qua một quy trình phân biện nghiêm túc (hai hoặc ba phân biện độc lập cho 1 báo cáo) và đã được xuất bản trong Tuyển tập các công trình khoa học của Hội nghị, Nhà xuất bản Đại học Thái Nguyên, với ISBN theo quy định quốc tế (đây là điểm mới đáng ghi nhận của Hội nghị lần này) và các báo cáo sẽ được trình bày tại 7 phân ban trong ngày hôm nay theo chương trình chi tiết mà các Quý vị đã có trong tay từ hơn 2 tuần qua.

Thay mặt Ban tổ chức Hội nghị, chúng tôi xin cảm ơn các Quý vị đại biểu, cảm ơn các báo cáo viên đã gửi bài đúng hạn, chất lượng và đến báo cáo tại Hội nghị trong ngày hôm nay. Đặc biệt, chúng tôi xin gửi lời cảm ơn sâu sắc đến Đảng Ủy, Ban Giám Hiệu, các Phòng, Ban, Khoa và cán bộ của trường Đại học Kỹ thuật Công nghiệp, Đại học Thái Nguyên đã rất nhiệt tình và giành nhiều thời gian, công sức đồng tổ chức Hội nghị này.

Xin cảm ơn các tập thể và cá nhân trong các Ban của Hội nghị: Ban Khoa học (Đồng trưởng ban là GS. Đào Huy Bích, PGS. Ngô Như Khoa và các thành viên), Ban Tổ chức (Đồng trưởng ban là GS. Trần Ích Thịnh, PGS. Nguyễn Duy Cương và các thành viên; đặc biệt là Ban tổ chức tại trường Đại học Kỹ thuật Công nghiệp Thái Nguyên) và Ban Thư ký (PGS. Đào Như Mai, TS. Nguyễn Thị Thanh Nga, ThS. Nguyễn Thị Bích Ngọc) đã làm việc không mệt mỏi với tinh thần trách nhiệm cao trong nhiều tháng qua cho các công việc của Hội nghị khoa học Cơ học Vật rắn lần thứ XV này.

Cuối cùng, xin chúc sức khỏe tất cả các Quý vị đại biểu cùng toàn thể các Hội nghị viên và hy vọng rằng Hội nghị khoa học Cơ học Vật rắn lần thứ XV sẽ mang lại cho chúng ta nhiều ấn tượng tốt đẹp và nhiều kết quả bổ ích.

Xin trân trọng cảm ơn.

Ngày 24 tháng 9 năm 2021

TM BCH HỘI CƠ HỌC VẬT RẮN

Chủ tịch

GS.TS Trần Ích Thịnh

MỤC LỤC

	<i>Số trang</i>
Lời khai mạc	iii
Mục lục	iv
GS. TSKH. Đào Huy Bích	
Về hoạt động khoa học và xây dựng đội ngũ cán bộ ngành Cơ học Vật rắn giữa hai kỳ hội nghị 2018 – 2021	1
Đỗ Phương Anh, Vũ Thị Ngọc Ánh và Phạm Chí Vĩnh	
Sự phản xạ của sóng SV đối với biên phân chia liên kết trượt	8
Lê Xuân Bách, Vương Văn Thanh, Nguyễn Duy Văn, Giáp Văn Lợi, Đỗ Văn Trường và Nguyễn Tuấn Hưng	
Ảnh hưởng của biến dạng đến tính chất cơ học và điện tử của vật liệu đơn lớp GeTe cấu trúc β	17
Vũ Trọng Bách và Nhã Tường Linh	
Xác định chế độ chèn, xoắn hợp lý đối với phiê Titan VT1-0 bằng phương pháp thực nghiệm	25
Kim Bang Tran, Quang Sang Nguyen and Thien Tich Truong	
Numerical modeling of creep concrete beam and slab with Boltzmann superposition principle	33
Nguyễn Đăng Bích và Nguyễn Hoàng Tùng	
Phân tích đáp ứng động lực phi tuyến của vỏ cầu trống độ dày thay đổi, chịu tải cơ - nhiệt - thủy động	42
Bùi Văn Bình và Trần Ích Thịnh	
Dao động tự do của tấm vát có gân gia cường làm bằng vật liệu composite	52
Bùi Văn Bình và Trần Ích Thịnh	
Phân tích dao động của tấm vát-gấp nếp làm bằng vật liệu composite	61
Chu Thanh Bình, Trần Hữu Quốc và Hoàng Thu Phương	
Dao động tự do của tấm quay bằng vật liệu có cơ tính biến thiên chứa lỗ rỗng và graphene	71
Le Pham Binh, Doan Trac Luat, Tran Trung Thanh, Pham Quoc Hoa and Pham Tien Dat	
Forced vibration of FGP nanoplates resting on elastic foundation using finite element formulation	81

Le Pham Binh, Le Minh Thai, Pham Tien Dat and Tran Trung Thanh	
Static behavior of FGP half-annular nanoplates resting on elastic foundation using nonlocal elasticity theory	91
Nguyễn Văn Chinh, Phùng Văn Minh, Lê Trường Sơn và Tạ Đức Tâm	
Phân tích tĩnh tấm 2D-FGSW trên nền đàn hồi bằng phương pháp phần tử hữu hạn, sử dụng lý thuyết biến dạng trượt bậc cao Quasi3D	100
Nguyen Van Chinh, Tran Huu Quoc and Nguyen Dinh Kien	
Nonlinear static analysis of bi-directional functionally graded sandwich plates using a higher-order finite element formulation	110
Phạm Đức Chính và Vương Thị Mỹ Hạnh	
Xây dựng biên cho các mô đun đàn hồi dọc vĩ mô của vật liệu tổ hợp đồng phương đẳng hướng ngang	120
Nguyen Thai Chung, Duong Thi Ngoc Thu, Le Hai Chau and Le Xuan Thuy	
Dynamic Analysis of Stiffened Functionally Graded Composite Plates Reinforced by Carbon Nanotubes under Blast Loading	130
Vũ Văn Du, Nguyễn Văn Hiền, Phạm Văn Thu, Nguyễn Văn Đạt, Nguyễn Công Luật và Trần Ích Thịnh.	
Nghiên cứu thực nghiệm xác định khả năng chịu lực của kết cấu composite sandwich trong đóng tàu	141
Trương Thị Thùy Dung, Phạm Thúy Nga, Lê Đức Thọ, Nguyễn Văn Vĩnh và Trần Thanh Tuấn	
Tỷ số H/V của sóng Rayleigh trong bán không gian đàn nhiệt đẳng hướng	152
Trương Thị Thùy Dung, Trần Ngọc Trung, Nguyễn Thị Thu, Phạm Thúy Nga và Trần Thanh Tuấn	
Tỷ số H/V của sóng Rayleigh-Lamb trong lớp có ứng suất trước không nén được và bài toán ngược	161
Luong Viet Dung, Ngo Nhu Khoa, Nguyen Thi Hoa, Nguyen Thi Bich Ngoc and Duong Pham Tuong Minh	
The analysis of ultrasonic transducers using the finite element method	169

Luong Viet Dung, Ngo Nhu Khoa, Nguyen Thi Bich Ngoc, Duong Pham Tuong Minh, Nguyen Thi Hoa, Nguyen Quang Hung and Sy Nguyen-Van	
Measuring the vibration amplitude of the ultrasonic transducer	176
Luong Viet Dung, Dao Lien Tien and Duong Pham Tuong Minh	
Finite element analysis for the composite sandwich plate using the homogenization method	185
Nguyễn Anh Dũng	
Ảnh hưởng của việc xác định tham số mô hình thiết kế lên dự đoán phản ứng động của nhà cao tầng khi chịu động đất	192
Hoàng Ngọc Duy, Nguyễn Minh Sơn, Nguyễn Văn Hội, Nguyễn Hoàng Linh, Vương Văn Thanh, Nguyễn Tuấn Hưng và Đỗ Văn Trường	
Khả năng hấp thụ năng lượng cơ học của cấu trúc các bon ba chiều	201
Trần Thùy Dương và Phạm Hoàng Anh	
Tối ưu tần số dao động riêng tấm composite lớp gia cường ống nano carbon (CNT) theo phương pháp PTHH kết hợp với thuật toán tiến hóa vi phân cải tiến	210
Nguyễn Văn Đạt, Huỳnh Tấn Đạt, Nguyễn Tuấn Anh, Nguyễn Văn Hiền, Nguyễn Công Chánh và Đinh Đức Tiến	
Nghiên cứu ứng dụng động cơ ô tô điện cho tàu thủy vỏ composite có tích hợp điện mặt trời (E-Boat)	220
Cao Van Doan and Dao Nhu Mai	
Nonlinear buckling analysis of oblique stiffened FG-GPLRC doubly curved shallow shells in the thermal environment	230
Dang Thuy Dong, Le Ngoc Ly, Vu Hoai Nam, Vu Minh Duc, Nguyen Van Tien and Tran Quang Minh	
Nonlinear dynamic buckling of stiffened FG-CNTRC cylindrical shells under axial compression	240
Dang Thuy Dong, Nguyen Thi Phuong, Nguyen Thi Thanh Xuan, Nguyen Thi Giang, Nguyen Van Tien and Tran Quang Minh	
Nonlinear vibration of FG-CNTRC doubly curved shallow shells stiffened by FG-CNTRC stiffeners	250

Vũ Lâm Đông, Phạm Đức Chính và Lê Hoài Châu

Mô phỏng số mô đun đàn hồi trượt vật liệu đa tinh thể hỗn độn Voronoi 2D từ các đơn tinh thể đối xứng square 260

Nguyen Dinh Duc và Pham Dinh Nguyen

Tối ưu vị trí gân trong phân tích ổn định của tấm composite nhiều lớp 269

Phạm Lê Trung Đức và Trương Tích Thiện

Mô phỏng động lực học thiết bị chuyển đổi năng lượng sóng biển 279

Nguyễn Thị Hương Giang và Trần Bảo Việt

Phương pháp số xác định hệ số dẫn nhiệt của vật liệu Composite với cốt là vi cầu thủy tinh rỗng trên nền epoxy 286

Phạm Thị Hà Giang và Phạm Chí Vĩnh

Công thức độ chậm của sóng SH đàn điện truyền trong mặt phân cách của hai bán không gian đàn hồi áp điện 294

Lê Thị Hà

Dao động tự do của dầm xoắn có cơ tính biến thiên hai chiều với các điều kiện biên khác nhau 303

Hoàng Việt Hải, Đỗ Anh Tú và Trần Quang Minh

Thực nghiệm ứng xử đứt dầm lắp ghép bê tông cường độ siêu cao (UHPC) lắp ghép dưới tác dụng tải trọng thẳng đứng 312

Nguyễn Đình Hải, Trần Anh Tuấn, Nguyễn Tiến Dũng, Vũ Bá Thành và Phạm Đức Thọ

Xác định ứng xử nhiệt của vật liệu xếp lớp trong trường hợp miền phân giới là không hoàn hảo tổng quát bằng cách giải bài toán đồng nhất hoá nhiệt cục bộ 322

Vũ Quang Hải, Trương Thị Thùy Dung, Nguyễn Thị Nga và Trần Thanh Tuấn

Hàm phản ứng của sóng SH trong lớp có biến dạng trước 330

Vương Thị Mỹ Hạnh

Mô phỏng số các mô đun đàn hồi vĩ mô của đa tinh thể hướng hỗn độn monoclinic 2D trên nền hình học lục giác 339

Đinh Văn Hiến và Trần Ngọc Thanh

Biên dạng đáy vỏ trụ composite dị hướng nhận được bằng phương pháp quán trắc địa 349

Nguyễn Văn Hiến, Vũ Văn Du, Huỳnh Tấn Đạt, Nguyễn Tuấn Anh, Nguyễn Công Chánh, Đinh Đức Tiến và Nguyễn Văn Đạt

Xác định sức cản tàu cao tốc bằng phương pháp CFD 358

Dang Van Hieu and Nguyen Thi Hoa

Nonlinear vibration of functionally graded porous micro-beams resting on elastic foundation 367

Nguyễn Trung Hiếu và Nguyễn Mạnh Hùng

Xác định ứng suất kéo trong kết cấu dầm bê tông cốt thép do biến dạng co ngót của bê tông gây ra 376

Nguyễn Trung Hiếu, Nguyễn Tuấn Ninh, Trịnh Hoài Linh, Đỗ Văn Hải và Khúc Văn Tài

Nghiên cứu sự làm việc chịu uốn của dầm bê tông cốt hỗn hợp thép- polymer cốt sợi thủy tinh bị hư hỏng do ăn mòn cốt thép 384

Nguyễn Trung Hiếu, Nguyễn Văn Quang, Nguyễn Mạnh Hùng, Lê Phước Lành và Dương Đình Đức

Khảo sát sự làm việc của cột bê tông cốt thép bị hư hỏng do ăn mòn cốt thép dưới tác dụng của tải trọng nén lệch tâm 393

Bui Thi Thu Hoai, Nguyen Dinh Kien and Tran Thi Thu Huong

Large deflections of cantilever FG-CNTRC sandwich beams 402

Phạm Văn Hoàn, Đào Như Mai và Lê Khả Hòa

Phân tích ảnh hưởng mô hình phân bố độ xốp đến sự ổn định của panel trụ làm bằng vật liệu FGP 412

Dương Thành Huân, Trần Minh Tú, Trần Hữu Quốc và Vũ Văn Thắm

Dao động tự do của tấm sandwich có lớp lõi bằng vật liệu auxetic và lớp bề mặt composite gia cường CNT 422

Lê Thị Huệ, Ngô Văn Trung, Lê Thị Hà và Phạm Chí Vĩnh

Ma trận chuyển và hàm Green của bán không gian đàn hồi chịu tác dụng của lực tập trung điều hòa theo thời gian 432

Trịnh Thị Thanh Huệ và Phạm Chí Vĩnh

Sóng Rayleigh truyền trong bán không gian đàn hồi trục hướng, nén được phủ lớp trục hướng, nén được lệch trục 441

Đặng Xuân Hùng, Trần Minh Tú và Trần Đại Hòa

Phân tích dao động riêng của tấm chữ nhật composite lớp gia cường bằng GPL theo các điều kiện biên khác nhau sử dụng phương pháp Pb2-Ritz 451

Đặng Xuân Hùng, Trần Minh Tú và Hương Quý Trường

Phân tích ổn định dầm sandwich FGM xếp với điều kiện biên khác nhau theo phương pháp Ritz 461

Nguyễn Quốc Hùng, Mạnh Cường Nguyễn and Tạ Văn Cường

Study on free vibration behavior of composite inner/outer ring-stiffened cylindrical shells 471

Tran Quang Hung, Do Minh Duc and Tran Minh Tu

Thermal buckling of P-FGM sandwich beam with porous core on elastic foundation 480

Nguyễn Thị Huyền, Đỗ Xuân Tùng, Nguyễn Thị Kiều và Phạm Chí Vĩnh

Phương trình thuần nhất hóa dạng hiện của lý thuyết đàn hồi trục hướng trong miền chứa biên phân chia độ nhám cao dạng hình tròn 490

Nguyễn Duy Hưng, Nguyễn Đăng Điềm, Nguyễn Lộc Kha, Tạ Duy Hiễn và Nguyễn Trung Kiên

Mô phỏng số cho tương tác cầu-xe của dầm giản đơn chịu tác dụng bởi phương tiện nhiều trục-bất đối xứng sử dụng phương pháp bán giải tích 497

Nguyễn Duy Hưng, Nguyễn Công Thức, Trần Huy Thiệp, Lê Mạnh Tuấn và Tạ Duy Hiễn

Đánh giá khả năng trích xuất tần số dao động cầu từ dao động thân xe của phương tiện ba trục dựa trên mô phỏng số 506

Luu Quỳnh Hường, Nguyễn Ngọc Huyền, Nguyễn Thị Lan và Nguyễn Tiến Khiêm	
Bài toán chẩn đoán vết nứt trong dầm FGM sử dụng vật liệu áp điện	516
Khanh Phạm Minh, Nghĩa Trung Tran, and Thien Tich Truong	
Development a prototype of Mobile Laminar Air Flow instrument	525
Khoa Viet Nguyen, Thao Thi Bich Dao, Ngoc Van Bach Pham, Quang Van Nguyen and Long Do Vu	
Damage detection of cables in cable-stayed bridges using vibration data measured from climbing robot	534
Nguyễn Triệu Khương, Lò Siêu Vỹ và Trương Tích Thiện	
Phân tích ứng xử phi tuyến và tối ưu hóa cấu trúc nẹp chỉnh hình mắt cá chân bằng phương pháp phần tử hữu hạn	543
Hoàng Trung Kiên, Trương Đức Phúc và Phạm Hồng Phúc	
Nâng cao tần số làm việc ngưỡng của vi chấp hành điện nhiệt dạng chữ V sử dụng thuật toán tối ưu bầy đàn	552
Nguyễn Trung Kiên, Nguyễn Văn Luật và Phạm Đức Chính	
Hệ số dẫn hiệu quả của vật liệu composite đối xứng cầu có lớp vỏ dị hướng	562
Nguyễn Trung Kiên, Trần Bảo Việt và Phạm Đức Chính	
Xấp xỉ đơn giản mô đun đàn hồi trượt vật liệu composite cốt liệu cầu và pha trung gian có tính chất thay đổi liên tục	569
Lê Phước Lành, Nguyễn Văn Quang, Đặng Anh Tài, Châu Xuân Thắng, Tăng Bá Hoàn và Nguyễn Văn Thế	
Nghiên cứu hiệu quả ứng xử uốn của dầm bê tông cốt cứng sử dụng bê tông cốt sợi thép	575
Bùi Hải Lê	
Ảnh hưởng của trọng số luật mờ đến hiệu quả điều khiển của hệ thống treo chủ động trên mô hình 1/4 xe ô tô	584
Bùi Hải Lê	
Điều khiển chủ động hệ thống treo của xe ô tô có kể đến dữ liệu trích mẫu của lực điều khiển	594

Trần Văn Liên và Vũ Ngọc Ánh	
Ứng xử của dầm nano có cơ tính biến thiên chịu tải trọng tĩnh	604
Nguyễn Hoàng Linh, Phạm Ngọc Hưng, Nguyễn Văn Hội, Hoàng Ngọc Duy, Nguyễn Minh Sơn, Trần Thế Quang, Vương Văn Thanh, Nguyễn Tuấn Hưng và Đỗ Văn Trường	
Ảnh hưởng của biến dạng cơ học đến tính chất sắt điện của vật liệu SrTiO ₃	613
Nguyễn Duy Long, Nguyễn Hồng Thái và Trương Công Giang	
Ảnh hưởng của hệ số thiết kế biên dạng rôto đến kích thước và chất lượng làm việc của bơm Roots có biên dạng đỉnh rôto là cung tròn	622
Nguyễn Văn Long, Lê Thanh Hải, Chu Thanh Bình và Trần Minh Tú	
Phân tích phi tuyến đáp ứng động của tấm bằng vật liệu FGM rỗng đặt trên nền đàn hồi	632
Giáp Văn Lợi, Nguyễn Duy Văn, Lê Xuân Bách, Nguyễn Tuấn Hưng, Đỗ Văn Trường và Vương Văn Thanh	
Tính chất nhiệt điện và quang học của vật liệu đơn lớp GeX (X= S, Se, Te)	642
Nguyễn Văn Luật	
Xác định hệ số dẫn hiệu quả của mô hình vật liệu ba pha dạng nền cốt liệu elliptic hai lớp	651
Le Ngoc Ly, Nguyen Thi Phuong, Dang Thuy Dong, Nguyen Van Tien, Nguyen Thi Giang and Tran Quang Minh	
Nonlinear axisymmetric vibration of shear deformable FG-GPLRC shallow spherical caps with porous core	658
Đào Như Mai và Cao Văn Mai	
Phân tích động lực học sà lan giá búa có neo	667
Nguyễn Xuân Mãn, Trần Tuấn Minh, Nguyễn Thành Nam và A.N.Pankratenco	
Trạng thái ứng suất-biến dạng trong khối đá xung quanh công trình ngầm tiết diện lớn khi tỷ số ứng suất nguyên sinh thay đổi	677
Phung Van Minh and Do Van Thom	
Dynamic response analysis of nanobeams resting on elastic foundations	688

Nguyễn Thành Nam, Nguyễn Xuân Mãn, Nguyễn Duyên Phong và Đào Văn Tuyết	
Sự hình thành các vùng sụp lở đất đá trên biên đường hầm khi tiến hành khai đào	696
Nguyễn Thành Nam, Nguyễn Xuân Mãn, Nguyễn Duyên Phong và Đào Văn Tuyết	
Về một số phương pháp đánh giá lún và chuyển vị ngang của nền đất khi thi công công trình ngầm	702
Pham Vu Nam, Vu Thị An Ninh, Trinh Thị Hien and Nguyen Dinh Kien	
Effect of different beam theories on dynamic response of BFGSW beams under a moving mass	713
Võ Văn Nam, Phạm Đức Thọ và Trần Thế Truyền	
Đánh giá, phân tích thực nghiệm ảnh hưởng của ăn mòn cốt thép trong cấu kiện dầm bê tông cốt thép đến sức kháng uốn của dầm	723
Vu Hoai Nam, Vu Tho Hung, Nguyen Thi Phuong, Nguyen Thi Thanh Xuan, Dang Thuy Dong and Vu Minh Duc	
Nonlinear buckling of spiral-corrugated FG-GRMMC laminated cylindrical shells under external pressure	731
Vu Hoai Nam, Nguyen Thi Phuong, Dang Thuy Dong, Vu Minh Duc, Nguyen Van Tien and Vu Tho Hung	
Nonlinear buckling of core-corrugated FG-CNTRC plates and cylindrical panels in thermal environment	741
Nghi Thai Le, Thanh Kim Lu, Vay Siu Lo and Thien Tich Truong	
The behavior analysis of bolted end-plate connections under static load by using finite element method	750
Nguyễn Phạm Thế Nhân, Bùi Hệ Thống, Hoàng Văn Thạnh, Trần Minh Sang, Đỗ Lê Hưng Toàn, Trần Ngọc Hải and Lưu Đức Bình	
Numerical simulation of the nanoindentation experiment for zinc polycrystal through crystal plasticity mode	759

Trương Đức Phúc, Hoàng Trung Kiên và Phạm Hồng Phúc	
Nghiên cứu tối ưu hóa thông số đúc phun vô thiết bị máy tính bảng	769
Dương Văn Quang, Trần Ngọc Đoàn, Đoàn Trắc Luật và Vũ Xuân Đức	
Tính toán tĩnh vô trụ nanocomposite có cơ tính biến thiên theo lý thuyết biến dạng cắt bậc cao có kể đến ứng suất pháp tuyến	779
Nguyễn Văn Quang và Nguyễn Trung Hiếu	
Ứng xử của dầm bê tông cốt thép bị ăn mòn cốt thép do ion clorua	789
Đoàn Xuân Quý và Nguyễn Tiến Chương	
Sự làm việc chịu xoắn của kết cấu lõi nửa kín nhà nhiều tầng có xét tới ứng xử ngoài giới hạn đàn hồi của dầm nối	798
Cao Minh Quyền, Nguyễn Xuân Huy, Lê Nguyên Khương và Nguyễn Hữu Giang	
Ảnh hưởng của hình dạng tiết diện đến hiệu quả gia cường cột ngắn bê tông bằng bê tông cốt lưới dệt	808
Hà Trường Sang, Vũ Văn Chiên, Lê Đức Thanh, Nguyễn Trung Định và Nguyễn Mạnh Hùng	
Nghiên cứu tương tác giữa vật rắn biến dạng đàn hồi và dòng chảy không nén bằng phương pháp phần tử hữu hạn	818
Nguyễn Hồ Duy Tân, Nguyễn Như Bửu Đức, Nguyễn Thanh Nhã, Nguyễn Thị Mỹ Hiền và Trương Tích Thiện	
Nonlinear finite element approach for contact problems in hyper-elastic models	827
Nguyễn Hồng Thái, Nguyễn Duy Long và Lê Thị Ninh	
Ảnh hưởng góc lệch pha đến lưu lượng và áp suất khi ghép song song các bơm Roots: Loại biên dạng đỉnh rôto là cung tròn	837
Thanh Kim Lu, Vay Siu Lo and Thien Tich Truong	
Crack growth analysis in 2D structures using the Extended Finite Element Method	847

Pham Ngoc Thanh and Tran Ich Thinh

Vibroacoustic analysis of a finite simply supported double- composite sandwich plate filled with poroelastic materials 856

Vũ Bá Thành, Trần Anh Tuấn, Nguyễn Đình Hải và Nguyễn Xuân Lam

Phương pháp phase field với sử dụng phân rã trực giao thành phần ten-xơ biến dạng để dự đoán sự phát triển vết nứt trong vật liệu giòn 866

Nguyễn Hữu Thắng, Nguyễn Trang Minh và Chu Anh Mỹ

Mô-men truyền động ngấm của Pháo phòng không 37mm-2N khi bắn một thân pháo 875

Nguyễn Tất Thắng

Nghiên cứu sự phá huỷ của cấu kiện bê tông chịu nén và dầm bê tông chịu uốn 3 điểm, dựa trên mô phỏng số, sử dụng phương pháp phần tử rời rạc (DEM) 883

Vũ Văn Thắm, Trần Hữu Quốc và Trần Minh Tú

Phân tích dao động tự do của tấm bằng vật liệu xốp đượcgia cường bởi graphene platelet 893

Tien-Thinh Le and Johann Guilleminot

Influence of surface effect on the macroscopic properties of nanocomposite materials from a probabilistic standpoint 903

Tien-Thinh Le, Johann Guilleminot, Vuong Minh Le and Christian Soize

Virtual testing of polymer nanocomposites and identification of interphase zone using Molecular Dynamics simulation 912

Tran Ich Thinh, Ta Thi Hien and Pham Ngoc Thanh

Experimental investigation of the accuracy of a vibroacoustic model for clamped sandwich-composite plates 924

Tran Ich Thinh and Pham Ngoc Thanh

Prediction and Measurement of Sound Transmission Loss for Finite Clamped Composite Sandwich Plates 937

Tran Thi Thom and Nguyen Dinh Kien

Forced vibration of FG-CNTRC sandwich beams excited by a moving mass 947

Duong Thi Ngoc Thu, Nguyen Thai Chung, Hoang Xuan Luong and Truong Thi Huong Huyen	
Nonlinear Flutter Analysis of Functionally Graded Carbon Nanotubes Reinforced Composite Plates	957
Nguyễn Ngọc Tinh	
Pile raft foundation: a simple and rigorous approach	968
Ngô Văn Trung, Vũ Thị Ngọc Ánh và Phạm Chí Vĩnh	
Sự phân xạ của sóng qP đối với lớp trục hướng không nén được đặt trên bán không gian trục hướng nén được	978
Trần Minh Tú, Nguyễn Văn Long và Vũ Thu Trang	
Phân tích tĩnh tám chữ nhật bằng vật liệu rỗng bão hòa chất lỏng	988
Lại Hoàng Tuấn và Trương Tích Thiện	
Mô phỏng sự truyền nhiệt và hình thành ứng suất dư của mối hàn đường ống	998
Trần Anh Tuấn, Nguyễn Đình Hải và Nguyễn Hoàng Quân	
Tính toán mô phỏng độ thấm vĩ mô của vật liệu bê tông bằng phương pháp phần tử biên	1007
Trần Anh Tuấn, Vũ Bá Thành, Nguyễn Đình Hải và Nguyễn Tiến Dũng	
Phân tích đặc tính thủy lực trong môi trường vật liệu rỗng kép bằng phương pháp phần tử biên	1016
Le Quang Vinh, Nguyen Dong Anh and Nguyen Manh Cuong	
Dynamic analysis of FGM joined conical-cylindrical shells surrounded by Pasternak elastic foundations based on the Continuous Element Method	1025
Nguyễn Ngọc Vinh, Nguyễn Tiến Dũng và Nguyễn Đình Đức	
Nghiên cứu mối quan hệ giữa mất mát ứng suất và sự phát triển vi cấu trúc của vật liệu thép cường độ cao	1035
Pham Cong Vinh, Manh Cuong Nguyen, Nguyen Tuan Hai and Le Quang Vinh	
Dynamic analysis of FGM ring-stiffness cylindrical shells via Continuous Element Method	1045

Pham Van Vinh, Doan Trac Luat, Phung Van Minh and Tran Van Ke

Free vibration analysis of nano-scale functionally graded beams using nonlocal elasticity theory with variable nonlocal parameter 1054

Phạm Văn Vinh, Đỗ Văn Thơm và Trần Trung Thành

Phân tích uốn tĩnh của dầm FGM có lỗ rỗng sử dụng phân tử dầm hỗn hợp dựa trên lý thuyết biến dạng cắt bậc nhất 1064

Ngô Khắc Yên, Lê Đức Trí và Đặng Hữu Phước

Nghiên cứu xây dựng mô hình bài toán thuật phóng ngoài cho đạn có dây 1074

CHỈ DẪN TRA CỨU TÊN TÁC GIẢ

1083

SỰ HÌNH THÀNH CÁC VÙNG SỤP LỖ ĐÁ TRÊN BIÊN ĐƯỜNG HÀM KHI TIẾN HÀNH KHAI ĐÀO

Nguyễn Thành Nam¹, Nguyễn Xuân Mãn^{2,*}, Nguyễn Duyên Phong² và Đào Văn Tuyết³

¹Bộ Xây dựng, 37 Lê Đại Hành, Hai Bà Trưng, Hà Nội

²Đại học Mỏ - Địa chất, Đông Ngạc, Từ Liêm, Hà Nội

³Đại học Bình Dương, Quốc lộ 13, Thủ Dầu Một, Bình Dương

*Email: mannxdoky@gmail.com

Tóm tắt. Báo cáo trình bày cơ chế hình thành các sụp lỗ đất đá trên biên công trình ngầm khi tiến hành đào mặt lộ trên cơ sở phân tích sự cân bằng lực tác dụng vào khối đá xung quanh. Khi xây dựng đường hầm trong môi trường đất đá sẽ làm cho trạng thái ứng suất nguyên sinh của địa tầng bị phá vỡ. Quá trình này dẫn đến sự phân bố lại ứng suất ban đầu, gây ra sự tập trung ứng suất tại vùng xung quanh biên đường hầm. Kết quả là đất đá “phân nhay cảm” sẽ bị phá hủy, vết nứt xuất hiện, sụp đổ cục bộ hoặc sụp đổ hệ thống xảy ra, nhất là vùng nóc (vòm) của hầm. Đường hầm sẽ kém ổn định. Đặc điểm và quy mô phá hủy đất đá quanh hầm phụ thuộc vào điều kiện địa chất, cấu trúc của đá và phương pháp, công nghệ sử dụng để đào hầm. Xác định đặc điểm và nguyên nhân hình thành sụp lỗ có ý nghĩa lớn trong lựa chọn và hoàn thiện công nghệ xây dựng hầm đảm bảo sự ổn định của hầm và an toàn lao động. Những kết quả này làm cơ sở cho việc xác định tải trọng tác dụng lên công trình ngầm.

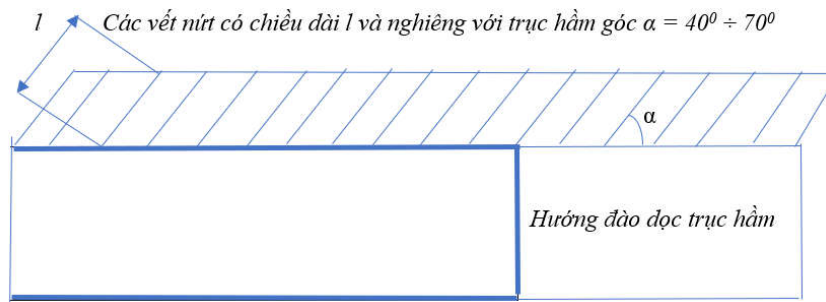
Từ khóa: Phân bố lại ứng suất, đường hầm, đất đá xung quanh hầm, ổn định, vùng sụp lỗ.

1. Mở đầu

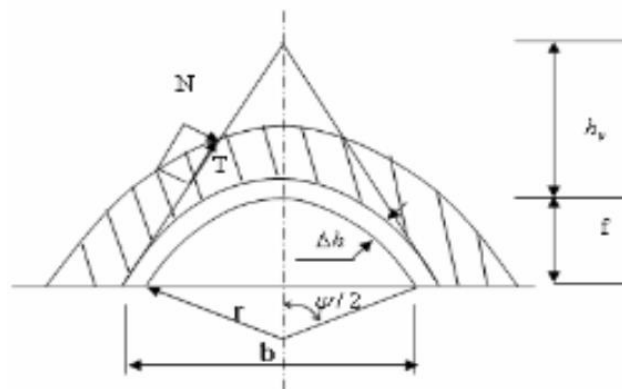
Khi xây dựng đường hầm trong môi trường đất đá sẽ làm thay đổi trạng thái ứng suất nguyên sinh của địa tầng bị phá vỡ. Quá trình này dẫn đến sự phân bố lại ứng suất ban đầu, gây ra sự tập trung ứng suất tại vùng xung quanh biên đường hầm. Kết quả là đất đá “phân nhay cảm” sẽ bị phá hủy, vết nứt xuất hiện, sụp đổ cục bộ hoặc sụp đổ hệ thống xảy ra, nhất là vùng nóc (vòm) của hầm. Đường hầm sẽ kém ổn định. Đặc điểm và quy mô phá hủy đất đá quanh hầm phụ thuộc vào điều kiện địa chất, cấu trúc của đá và phương pháp, công nghệ sử dụng để đào hầm. Với những trình bày trên đây thì việc nghiên cứu sự hình thành các vùng sụp lỗ đất đá trên biên đường hầm khi tiến hành khai đào có ý nghĩa thực tiễn, mang tính cấp bách. Mục tiêu của bài viết là phân tích và xác định đặc điểm và nguyên nhân hình thành sụp lỗ khi tiến hành đào hầm với mục đích giúp cho quá trình thiết kế và thi công có cơ sở. Kết quả nghiên cứu làm tài liệu tham khảo giúp cho người kỹ sư xây dựng công trình ngầm đưa ra sự chọn lựa hình thức kết cấu chống đỡ cũng như lựa chọn công nghệ thi công phù hợp trong xây dựng hầm nhằm đảm bảo sự ổn định của hầm và an toàn lao động. Trong bài viết chỉ xem xét môi trường đất công trình ngầm là đá nứt nẻ, mất tính liên khối.

2. Cơ chế và quy luật hình thành các sụp lở

Sự xuất hiện sụp lở vòm và tường hầm có mối quan hệ hữu cơ với đặc điểm nứt nẻ trong khối đá. Hệ thống nứt nẻ phá vỡ tính đồng nhất, tính liên khối của môi trường nơi xây dựng công trình ngầm (CTN) và liên quan mật thiết đến hình dạng, kích thước và điều kiện hình thành sụp lở nóc hầm. Tương quan kích thước và mật độ của nứt nẻ với kích thước mặt cắt ngang hầm (chiều cao, chiều rộng) có vai trò quan trọng trong việc hình thành sụp lở đất đá vòm hầm (hình 1). Ngoài ra vị trí tương đối giữa hệ thống vết nứt chính với bề mặt gương đào của hầm cũng là yếu tố quan trọng để xác định hình dạng và kích thước của vùng sụp lở. Quan sát thực tế chỉ ra rằng các sụp lở hình thành theo sự phát sinh và phát triển các vết nứt trong khối đá. Các vết nứt có vai trò chính hình thành sụp lở thường có góc dốc $40^{\circ} \div 70^{\circ}$ nghiêng theo trục hầm (hình 1a). Một vấn đề cần nhấn mạnh là sự hình thành sụp lở là quá trình phụ thuộc thời gian từ khi khai đào làm xuất hiện mặt lộ đến thời điểm vô chống cố định đã lắp đặt và đã làm việc theo công năng thiết kế (hình 1b).



a. Các vết nứt có vai trò chính hình thành sụp lở



b. Các yếu tố vòm sụp lở

Hình 1. Hình thành vòm sụp lở

Có thể dự báo số lượng sụp lở n theo chiều dài vết nứt l và thời gian t theo công thức:

$$n = f(l/t) \quad (1)$$

Các sụp lở theo sự hình thành được chia làm 03 nhóm:

- Nhóm 1: Sụp lở xuất hiện tức thời, liên quan đến phá hủy dòn ngay sau khi mặt lộ xuất hiện. Những sụp lở này gắn liền với quá trình nổ phá đá khi đào hầm và với các tác động của chấn rung khác trong đất đá có vết nứt nguyên sinh, thứ sinh liên kết yếu giữ các mặt tiếp xúc;

- Nhóm 2: Sụp lở liên quan đến quá trình phong hóa của đá, nhất là Alicrolit. Loại đá này khi hút ẩm dễ trương nở và tách ra do nội ứng suất nở thể tích gây ra;

- Nhóm 3: Các sụp lở liên quan đến biến dạng từ biến của đá. Các sụp lở này thường xảy ra ở thời gian từ 12 tháng trở lên sau khi đào và tập trung ở các đá phân lớp như đá phiến.

3. Điều kiện cân bằng của đất đá vòm hầm

Như đã nói ở trên, chiều rộng của hầm b và chiều dài vết nứt l có mối quan hệ hữu cơ trong quá trình hình thành sụp lở. Sơ đồ hình thành sụp lở phụ thuộc vào tỷ lệ (l/b). Căn cứ vào tỷ lệ này có thể có 3 sơ đồ hình thành sụp lở (hình 2), cụ thể như sau:

- Sơ đồ 1: Khi có 2 hệ thống nứt nẻ tạo sụp lở và $l/b > 0,5$. Trong trường hợp này sụp lở hình thành do trọng lượng của đất đá thắng lực giữ giữa các mặt giảm yếu trong vết nứt;

- Sơ đồ 2: Khi có 2 hệ thống nứt nẻ tạo sụp lở và $l/b < 0,5$;

- Sơ đồ 3: Khi có 2 hệ thống nứt nẻ gây ra sụp lở mà trong hệ thống thứ nhất thì $l/b < 0,5$ và trong hệ thống thứ hai thì $l/b \geq 0,5$.

Trong cả 3 sơ đồ trên, góc sụp lở θ có thể là: $\theta > 90^\circ$ hoặc $\theta < 90^\circ$. Cụ thể là:

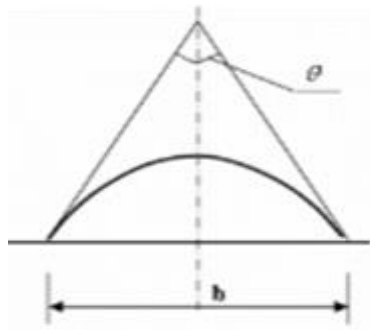
- Khi sụp lở do lực trượt gây lên thì: $\theta < 90^\circ$;

- Khi lực gây sụp lở là tách chẻ lớp đá thì: $\theta > 90^\circ$.

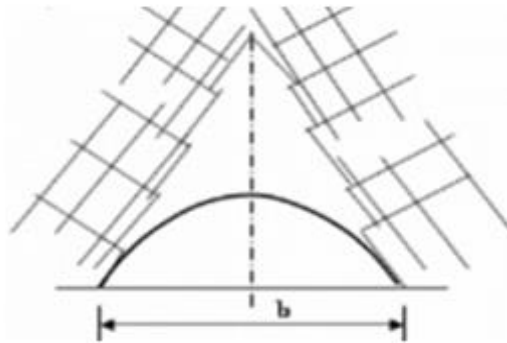
Điều kiện cân bằng của sụp lở ứng với trường hợp $\theta < 90^\circ$ là lực giữ ($T_{\text{giữ}}$) lớn hơn hoặc bằng lực trượt (T_{tr}), tức là:

$$T_{\text{giữ}} \geq T_{\text{tr}} \quad (2)$$

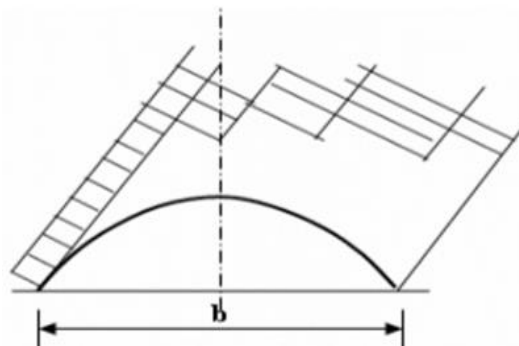
Hình dạng của các sụp lở thường có dạng tam giác, trong đó các cạnh ở mức độ nào đó thường trùng với các vết nứt và mặt lộ của công trình khai đào.



a) Sơ đồ 1: $\theta < 90^\circ$, $l/b \geq 0,5$;



b) Sơ đồ 2: $\theta < 90^\circ$, $l/b \leq 0,5$;



c) Sơ đồ 3: $\theta < 90^\circ$, $l_1/b \geq 0,5$, $l_2/b < 0,5$.

Hình 2. Các sơ đồ hình thành vòm sụp lở

4. Xác định tải trọng đất đá tác dụng lên vỏ chống

Xem xét việc xây dựng hầm trong vùng đá nứt nẻ, không liên tục và căn cứ vào các lý giải nêu ra ở mục 2, có thể xác định tải trọng đá ở các vùng sụp đổ P tác dụng lên vỏ chống theo các công thức sau đây [3]:

$$P = \frac{\gamma 360^\circ}{4\pi r \psi} \left[(b + 2\Delta h) h_v - (r + \Delta h)^2 \left(\frac{\psi \pi}{180^\circ} - \sin \psi \right) \right], \quad (3)$$

Trong công thức (3): các ký hiệu như sau: P - tải trọng, KPa; γ - trọng lượng thể tích đá, T/m³.

Các giá trị còn lại xác định trên hình 1, như sau:

h_v - chiều cao sụp đổ (xem hình 1), m;

r - bán kính vòm, m;

b - chiều rộng vòm, m (hình 1);

ψ - góc chắn tâm của vòm, độ (hình 1);

Δh - giá trị đào thừa, m (hình 1).

Theo phân tích [3], [4] thì giá trị P có thể xác định theo công thức thực nghiệm sau (4):

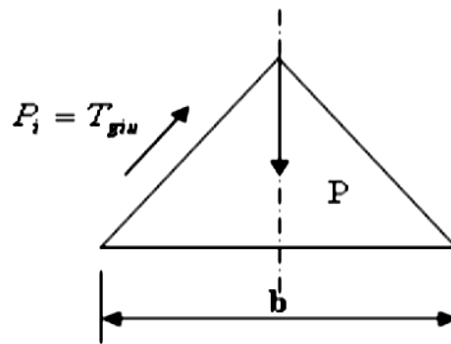
$$P = k h_v^t, \quad (4)$$

Trong công thức (4): k , t - các hệ số thực nghiệm, phụ thuộc vào chiều rộng vòm, chiều cao vòm và các chỉ tiêu cơ lý của đá. Với các hầm của nhà máy thủy điện [4]: $b = 13 \div 14$ m; $h_v = 4 \div 7$ m thì $k = 1,435$ và $t = 0,843$.

Lực cần thiết giữ đất đá không bị sụp lở và để vòm ổn định (P_i) có thể xác định theo mô hình vòm sụp lở (hình 3) bằng công thức (5) dưới đây:

$$P_i = P \left[1 - \frac{\operatorname{tg} \varphi}{\operatorname{tg}(\theta/2)} \right] + \frac{b\gamma}{4\operatorname{tg}(\theta/2)}, \quad (5)$$

Trong công thức (5): φ - góc nội ma sát theo bề mặt vết nứt.



Hình 3. Mô hình vòm sụp lở

Thay (3) vào (5) ta được:

$$P_i = \frac{\gamma 360^\circ}{4\pi r \psi} \left[(b + 2\Delta h) h_v - (r + \Delta h)^2 \left(\frac{\psi \pi}{180^\circ} - \sin \psi \right) \right] \left[1 - \frac{\operatorname{tg} \varphi}{\operatorname{tg}(\theta/2)} \right] + \frac{b\gamma}{4\operatorname{tg}(\theta/2)} \quad (6)$$

Từ biểu thức (5) và (6) cho ta các kết luận sau:

- Khi: $\varphi > \theta/2$ thì $P_i \geq P$ do đó vòm ổn định; đất đá không sụp lở và không cần có biện pháp chống giữ công trình.

- Khi: $\varphi < \theta/2$ thì $P_i < P$ do đó vòm hầm nằm ở trạng thái không ổn định; đất đá phần vòm sụp lở nên phải có giải pháp chống giữ.

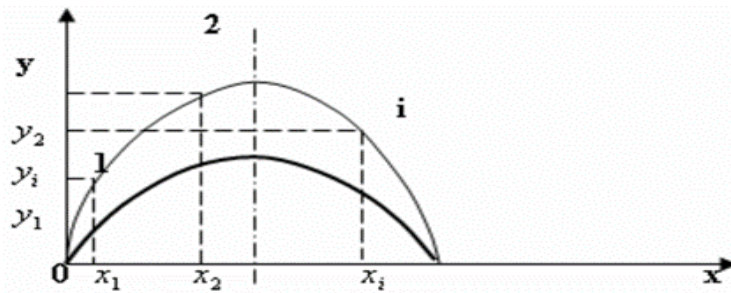
5. Xây dựng đường cong sụp đổ

Quan sát, đo đạc các vùng sụp đổ của đá nứt nẻ, không liên tục cho ta các số liệu về tọa độ của các điểm biên đường hầm bị sụp đổ $M(x, y)$, với x - tọa độ dọc theo phương của chiều rộng hầm; y - tọa độ theo phương chiều cao hầm. Tọa độ của chân vòm tương ứng là $(0, 0)$, $(0, b)$ và đỉnh vòm là $(b/2, h_v)$. Sơ đồ xác định hình dáng đường bao vùng sụp lở chỉ ra trên hình 4.

Phương trình đường cong sụp lở giả thiết có dạng:

$$y = ax^2 + bx + c, \quad (7)$$

Trong đó: a, b, c - các hằng số thực nghiệm, phụ thuộc vào chiều rộng, chiều cao vòm và các điều kiện địa kỹ thuật của môi trường xây dựng hầm.



Hình 4. Sơ đồ xác định hình dáng đường bao vùng sụp lở

Khi có bảng giá trị tọa độ các điểm biên vòm sụp lở $M_i(x_i, y_i)$, với $i = 1 \div n$, ta có thể xác định a, b, c từ việc giải hệ phương trình sau [3], [4]:

$$\begin{cases} a \sum_{i=1}^n x_i^2 + b \sum_{i=1}^n x_i + nc = \sum_{i=1}^n y_i \\ a \sum_{i=1}^n x_i^3 + b \sum_{i=1}^n x_i^2 + c \sum_{i=1}^n x_i = \sum_{i=1}^n x_i y_i \\ a \sum_{i=1}^n x_i^4 + b \sum_{i=1}^n x_i^3 + c \sum_{i=1}^n x_i^2 = \sum_{i=1}^n x_i^2 y_i \end{cases} \quad (8)$$

Chiều cao vòm đất đá bị phá hủy $h_v = y(x = b/2)$. Khi đất đá lở hoặc vết nứt đối xứng qua trục vòm thì đường parabol có dạng:

$y = a(x - b)x$; do $y(x = b/2) = y_{\max} = f + h_v$, do đó dễ dàng tìm được:

$$a = -\frac{4(h_v + f)}{b^2}; \text{ tức là: } y = \frac{4(h_v + f)}{b^2}(x - b)x.$$

Tải trọng tác dụng lên vỏ chống sẽ là:

$$P = \frac{1}{b} \int_0^b \left[\frac{4}{b^2} (h_v + f)(bx - x^2) - y_v(x) \right] dx \quad (9)$$

6. Kết luận

Việc xác định khả năng có xuất hiện hay không xuất hiện vòm sụp lở có ý nghĩa lớn trong việc bảo đảm an toàn cho người và thiết bị thi công cũng như sự ổn định của đường hầm.

Bằng việc phân tích mô hình sụp lở đá trong môi trường nứt nẻ, không liên tục đi đến kết luận về mối quan hệ giữa hệ thống nứt nẻ của khối đá với kích thước mặt lộ công trình ngầm. Từ đó xây dựng điều kiện ổn định và xác định tải trọng do đất đá vùng sụp lở tác động lên kết cấu chống giữ.

Hình dạng của vùng sụp lở (xem xét trong môi trường đá nứt nẻ, không liên tục với chiều dài nứt nẻ l và góc nghiêng với trục hầm một góc α được xác định bằng khảo sát hiện trường), đã đưa ra dạng của vòm sụp lở là parabol bậc hai. Từ đây rút ra kích thước vòm sụp lở làm cơ sở cho việc xác định áp lực đất đá lên kết cấu chống của hầm. Khi đã xác định được áp lực đá tác dụng lên kết cấu chống ta dễ dàng lựa chọn kết cấu chống đúng, hợp lý.

TÀI LIỆU THAM KHẢO

- [1] Nguyễn Xuân Mãn, *Cơ học công trình ngầm và tính toán kết cấu chống giữ*, Tài liệu dùng cho học viên cao học, Trường Đại học Mỏ - Địa chất, Hà Nội, (1998).
- [2] Nguyễn Quang Phích, *Bài giảng cơ học đá*, Trường Đại học Mỏ - Địa chất, Hà Nội, (1992).
- [3] Liperman Iu. M., *Áp lực đất đá tác dụng lên vỏ chống đường lò cơ bản*, Nhà xuất bản: Lòng đất, M. (1968).
- [4] Naxônôv L.N., *Cơ học đá và chống giữ các đường lò*, Nhà xuất bản: Lòng đất, M. (1969).

NHÀ XUẤT BẢN ĐẠI HỌC THÁI NGUYÊN

Địa chỉ: Phường Tân Thịnh - Thành phố Thái Nguyên - Tỉnh Thái Nguyên

Điện thoại: 0208 3840023; Fax: 0208 3840017

Website: nxb.tnu.edu.vn * E-mail: nxb.dhtn@gmail.com

TUYỂN TẬP CÔNG TRÌNH

Hội nghị Khoa học toàn quốc Cơ học Vật rắn lần thứ XV

TP. Thái Nguyên, ngày 24, 25 tháng 9 năm 2021

Chịu trách nhiệm xuất bản:

TS. PHẠM QUỐC TUẤN

Giám đốc - Tổng biên tập

Biên tập: HOÀNG ĐỨC NGUYỄN

Thiết kế bìa: LÊ THÀNH NGUYỄN

Chế bản: ĐÀO THÁI SON

Sửa bản in: HOÀNG ĐỨC NGUYỄN

Đối tác liên kết xuất bản

Hội Cơ học vật rắn – Hội Cơ học Việt Nam

(Địa chỉ: 264 Đội Cấn, Ba Đình, Hà Nội)

ISBN: 978-604-9987-74-8

In 100 cuốn, khổ 19 x 27 cm, tại Xưởng in - Nhà xuất bản Đại học Thái Nguyên (Địa chỉ: Phường Tân Thịnh - Thành phố Thái Nguyên - Tỉnh Thái Nguyên). Giấy phép xuất bản số: 3091-2021/CXBIPH/02-153/ĐHTN. Quyết định xuất bản số: 207/QĐ-NXBĐHTN, ngày 23/9/2021. In xong và nộp lưu chiểu quý III năm 2021.